

Ejemplo comparación de resultados predictores in silico

Cambio de estudio MFS8 c.554-1G>T (chr4:127939998 G/T, COSV99614626 o NM_001371596.2: c.554-1G>T)

Exón 6 e intrones adyacentes:

```
ccctasggagcccttttccggtatttttttcctaactctcttttacccataaaaattttagtgcacagatgtgtcatatatctttcatgtaccataatgtataactgtacataacctgctttatadataaaaagaggaaatttttttgacccccatcaagaaccaattccatctgttgagaatgcatgatataagaaggatgatccataaacattgttcccaattctgttgtaaattgtcctttttcatttttttattcctatgcttctcatataataaattcatctgtgaaaattttatcttaataagTTTTTCAGACCTGTTTTACATTCTTGGAGAAAAAGGTGTGACATGGATGTGATTAAACTGACAGATAAACATGTATACAAACCAGTTTACTTAGCGCCTTCCTGGGAATTTTAAATAATTATCTGATCCTTGCCATACTAAGgtaattagatagaaaatgataaaaactatttttgtagattgtgaaatttaattgagcttttgtaattgttggaagataaattatccttatgaagtgtacgttagtttttttagtctatagttttgtttatatttttttggtcaggtagtactaaagcatgtaatactggcaadcaaaagacaacctgataaatgagaacagaaaagggaaggtctttgaaagattcaaagtgttttttttttttttttttttttttttttttgagacagatcttactctgttgcacagactggaggcagtggaactatctcgc
```

El cambio se encuentra en la primera posición justo antes del exón 6 (la **g** en color rojo/naranja).

Se va a obtener los resultados que produce analizar esta variable con los diferente predictores y ver cuál de ellos es más preciso.

NetGene2

Donor splice sites, direct strand

pos	5'→3'	phase	strand	confidence	5'	exon	intron	3'
386		2	+	0.37	CC	TACTAAG	^GTAATTAGAT	

Donor splice sites, complement strand

pos 3'→5'	pos 5'→3'	phase	strand	confidence	5'	exon	intron	3'
51	635	0	-	0.00	TATAAAGCAG	^GTATGTACAG		

Acceptor splice sites, direct strand

No acceptor site predictions above threshold.

Acceptor splice sites, complement strand

pos 3'→5'	pos 5'→3'	phase	strand	confidence	5'	intron	exon	3'
562	124	2	-	0.33	CATT	TATCAG	^GTTGTCTTTT	

Donor splice sites, direct strand

pos	5'→3'	phase	strand	confidence	5'	exon	intron	3'
386		2	+	0.37	CC	TACTAAG	^GTAATTAGAT	

Donor splice sites, complement strand

pos 3'→5'	pos 5'→3'	phase	strand	confidence	5'	exon	intron	3'
51	635	0	-	0.00	TATAAAGCAG	^GTATGTACAG		

Acceptor splice sites, direct strand

pos	5'→3'	phase	strand	confidence	5'	intron	exon	3'
248		0	+	0.17	ATTTTTTCAG	^ACTTGTTT		

Acceptor splice sites, complement strand

pos 3'→5'	pos 5'→3'	phase	strand	confidence	5'	intron	exon	3'
562	124	2	-	0.33	CATT	TATCAG	^GTTGTCTTTT	

Se detecta en la secuencia mutante un sitio *acceptor* (en azul) que no estaba en la secuencia WT. Este se encuentran desplazado por delante, es decir, hacia el interior del exón con respecto al sitio *acceptor* del exón. Por lo tanto, en el caso de que se empleara este en vez del normal, lo más probable es que se estuvieran perdiendo los ocho nucleótidos del principio del exón 6.

Splice Site Prediction by Neural Network (NNSplice)

Donor site predictions for wt :

Start	End	Score	Exon	Intron
270	284	0.83	gaaaaag	gtgtgaca
379	393	0.99	tactaag	gt aattag
469	483	0.76	atgaagt	gtacgtag
515	529	0.58	tggtcag	gtagtact

Acceptor site predictions for wt :

Start	End	Score	Intron	Exon
400	440	0.54	atgataaaactatTTTTgt	agattgtgaaatttaagagct
479	519	0.97	cgtagTTTTTatgtctat	agtttgtttatatttttggtc
501	541	0.88	ttgtttatatttttggtc	aggtagtactaaagcatgtaat
616	656	0.94	TTTTTTTTTTTTTTTg	agacaagatcttactctgttgc

Donor site predictions for mut :

Start	End	Score	Exon	Intron
270	284	0.83	gaaaaag	gtgtgaca
379	393	0.99	tactaag	gt aattag
469	483	0.76	atgaagt	gtacgtag
515	529	0.58	tggtcag	gtagtact


Acceptor site predictions for mut :

Start	End	Score	Intron	Exon
400	440	0.54	atgataaaactatTTTTgt	agattgtgaaatttaagagct
479	519	0.97	cgtagTTTTTatgtctat	agtttgtttatatttttggtc
501	541	0.88	ttgtttatatttttggtc	aggtagtactaaagcatgtaat
616	656	0.94	TTTTTTTTTTTTTTTg	agacaagatcttactctgttgc

Spliceman

Point mutation	Wildtype (wt)	Mutation (mt)	L1 distance	Ranking (L1)
aataa(g/t)ttttt	agtttt	attttt	32870	92%

Human Splicing Finder

 Broken WT Acceptor Site	Alteration of the WT Acceptor site, most probably affecting splicing		
Algorithm/Matix	position	sequences	variation
HSF Acceptor site (matrix AG)	chr4:127940009	- REF : TATCTTAATAA G TT - ALT : TATCTTAATAA T TT	74.7 > 46.84 => -37.3%

SVM-BPfinder

seq_id	agez	ss_dist	bp_seq	bp_scr	y_cont	ppt_off	ppt_len	ppt_scr	svm_scr
wt	23	69	ttctcatat		0.404829721522	0.609375	9	9	15 0.32715088
wt	23	64	atataataa		-1.75189148877	0.627118644068	4	9	15 -0.19508512
wt	23	61	taataattc		0.120839138196	0.642857142857	1	9	15 0.73315547
wt	23	57	aattcatct		-0.783806165659	0.634615384615	11	9	21 -0.20080591
wt	23	50	ctgtgaaaa		-1.22157370831	0.644444444444	4	9	21 0.074050155
wt	23	42	attttatct		-3.97130308554	0.675675675676	11	6	17 -1.4728637
wt	23	37	atcttaata		-2.60071158764	0.65625 6	6	17	-0.62599469
wt	23	36	tcctaataa		-1.06390416857	0.677419354839	5	6	17 0.045873458
wt	23	33	taataagtt		-1.04082579095	0.714285714286	2	6	17 0.25671143
wt	23	25	ttttcagac		-1.65123590362	0.7 3	17	32	0.089532501
mut	23	69	ttctcatat		0.404829721522	0.625 9	9	15	0.3321973
mut	23	64	atataataa		-1.75189148877	0.64406779661	4	9	15 -0.18961103
mut	23	61	taataattc		0.120839138196	0.660714285714	1	9	15 0.7389228
mut	23	57	aattcatct		-0.783806165659	0.653846153846	11	9	21 -0.19459494
mut	23	50	ctgtgaaaa		-1.22157370831	0.666666666667	4	9	21 0.08122728
mut	23	42	attttatct		-3.97130308554	0.702702702703	10	7	20 -1.3728889
mut	23	37	atcttaata		-2.60071158764	0.6875 5	7	20	-0.524656
mut	23	36	tcctaataa		-1.06390416857	0.709677419355	4	7	20 0.14753771
mut	23	33	taataattt		-0.468856119354	0.75 1	7	20	0.58344512
mut	23	25	ttttcagac		-1.65123590362	0.7 3	17	32	0.089532501

El cambio que hay entre ambas secuencias se da por la presencia de la mutación que hace que el BP tenga mejor *score*, probablemente haciéndolo más fuerte.

Variant Effect Predictor tool

[illegible]

ESEfinder

Solo se encuentran una predicción con puntuación positiva para las matrices 3'SS (no se va a tener encuentra 226 porque solo en una de las dos matrices se obtiene puntuación positiva). Si se compara está puntuación con la equivalente a la secuencia mutante se observa que ha aumentado, por lo que lo más probable es que se esté fortaleciendo un sitio *acceptor*, lo que puede estar afectando al *splicing*.

234 (-452)	taataagTTTTCAGACTTGTTTACATTC	-14.93020	234 (-452)	taataagTTTTCAGACTTGTTTACATTC	1.02320	234 (-452)	taataagTTTTCAGACTTGTTTACATTC	-15.66840	234 (-452)	taataagTTTTCAGACTTGTTTACATTC	0.59250
234 (-452)	taataaatTTTTCAGACTTGTTTACATTC	-15.58000	234 (-452)	taataaatTTTTCAGACTTGTTTACATTC	2.68240	234 (-452)	taataaatTTTTCAGACTTGTTTACATTC	-16.30870	234 (-452)	taataaatTTTTCAGACTTGTTTACATTC	2.19800